

(مقاله پژوهشی)

بررسی تجربی تأثیر چیدمان عرضی برآمدگی‌های دوگانه بر بردار پیشرانش در نازل مافوق صوت همگرا-واگرَا*

محمد رضا بابائیان^(۱) محمد حججی^(۲)

چکیده در این پژوهش اثرات برآمدگی‌های دوگانه به عنوان یک روش جاید، کم‌هزینه و ساده در کنترل بردار پیشرانش در یک نازل همگرا-واگرَا در رژیم مافوق صوت که عدد مانع اسمی آن ۲ است، به صورت تجربی بررسی شود. برآمدگی‌های مورد استفاده دو قطعه استوانه‌ای شکل است که جلوی جریان در قسمت واگرای نازل قرار داده می‌شود. این برآمدگی‌ها در موقعیت‌های ۱۰ درصد طول قسمت واگرای نازل از گلوبکاه نازل به صورت عرضی و با زاویه ۴۵ درجه نسبت به یکدیگر نصب شده و به صورت همزمان در مسیر جریان اعمال می‌شود. میدان جریان به وسیله تصویربرداری شلرین همراه با اندازه‌گیری تغییرات خشار روی دیواره‌های نازل انجام شده است. نتایج نشان می‌دهد، چیدمان عرضی برآمدگی‌های دوگانه در نازل می‌تواند زاویه بردار پیشرانش را تا ۳.۵ درجه در شرایط بررسی شده افزایش دهای. همچنین ضمن دستیابی به زاویه انحراف مشخص با نسبت نفوذ نگتر در مقایسه با استفاده از یک برآمدگی تا ۵.۵ درصد افت پیشرانش محوری را کم نمود.

واژه‌های کلیدی کنترل بردار پیشرانش؛ مافوق صوت؛ نازل همگرا-واگرَا؛ برآمدگی؛ آبرو دینامیک تجربی.

Experimental Investigation of the Influence of Transverse Dual protuberances on the Thrust Vector of a Supersonic C-D nozzle

M.R. Babaeyan M. Hojaji

Abstract In this study, effects of the use of dual transverse protuberances (DTP) as a new, low cost and simple method in controlling the thrust vector in a C-D nozzle, whose nominal Mach number is 2, was investigated. The protuberances used are two cylindrical shapes that are placed in front of the flow in the divergence part of nozzle. Protuberances are installed in 80% of the length of the nozzle divergence section from nozzle throat, transversely and at a 45° angle to each other. The flow field was investigated by schlieren imaging, along with measuring the pressure distributions on the nozzle walls. The results show that using the DTP in the nozzle can increase the angle of the thrust vector to 3.5 degrees in the examined conditions. Also, it can be achieved in compare to using a single protobrane with lower thrust loss up to 5.5%.

Key Words TVC, C-D Nozzle, Supersonic Flow, Protuberance, Experimental Aerodynamics.

★ تاریخ دریافت مقاله ۹۸/۵/۱۵ و تاریخ پذیرش آن ۹۹/۲/۳ می‌باشد.

(۱) دانشجوی کارشناسی ارشد، گروه مهندسی مکانیک، واحد نجف‌آباد، دانشگاه آزاد اسلامی، نجف‌آباد، ایران

(۲) نویسنده مسئول: استادیار، گروه مهندسی مکانیک، واحد نجف‌آباد، دانشگاه آزاد اسلامی، نجف‌آباد، ایران

Hojaji_m@pmc.iaun.ac.ir

(۳) استادیار، مرکز تحقیقات هواضما و تبدیل انرژی، واحد نجف‌آباد، دانشگاه آزاد اسلامی، نجف‌آباد، ایران

مقدمه

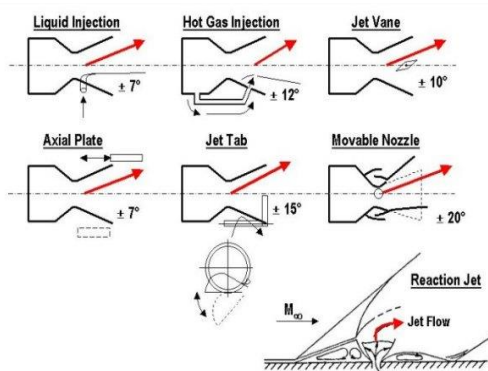
تحلیل جریان درون نازل با پاشش ثانویه پرداختند [3]. در این پژوهش میدان جریان پاشش گاز از یک جت صوتی به درون قسمت واگرای یک نازل همگرا-واگرای دو بعدی به صورت عددی بررسی شده است. نتایج نشان داد که حل معادلات ناویر استوکس، ساختار جریان و توزیع فشار را در نزدیکی مجرای پاشش در مقایسه با نتایج تجربی به خوبی نشان می دهد. در سال ۲۰۰۶ لی درباره ویژگی های یک سیستم تزریق دوگانه در یک توربوموتور، روند کلی ویژگی های مخلوط کردن سیستم تزریق دوگانه و یگانه را به روش عددی مورد بررسی قرار داد [4]. نتایج نشان داد خصوصیات یک سیستم تزریق دوگانه بسیار متفاوت از تزریق یگانه است. جریان ورودی عقب به شدت تحت تأثیر انسداد قرار گرفته و به علت شتاب جریان تزریق جلو، گسترش و نفوذ زیادتری نسبت به جریان تزریق از جلو دارد.

در سال ۲۰۰۷ آناتشا و همکارانش به تحقیق در مورد پارامتری کنترل بردار موج ضربهای برای بردار پیشرانش به صورت عددی پرداختند [5]. در این پژوهش، مطالعه پارامتری روی عرض شکاف و محل شکاف در ناحیه واگرای نازل انجام شد. با جابجا کردن محل تزریق به نزدیک خروجی نازل در بخش واگرای زاویه بردار افزایش یافته که این نتیجه برای محدوده نسبت دبی (دبی تزریقی به دبی اصلی) بین ۰/۳۵ تا ۰/۰۶ درصد حاصل شده است. با افزایش دبی تزریق هم در حالت سه بعدی و هم در حالت دو بعدی انحراف بردار پیشranش افزایش می یابد و در یک نرخ تزریق ثابت با افزایش پهنای شکاف به خاطر کاهش مومنت، زاویه پیشranش کم می شود.

در سال ۲۰۱۰ شین و همکارانش محاسبات کنترل بردار پیشranش را با استفاده از نازل دو گلوگاه مورد بررسی قرار دادند [6]. همچنین، با ایجاد یک سوراخ در گلوگاه بالادرست برای تزریق جریان ثانویه به صورت دو بعدی شبیه سازی عددی شده است. بر اساس نتایج

جهت کنترل کردن اشیاء پرنده از روش های کنترل نامتعارف و کنترل متعارف استفاده می شود. در روش کنترل متعارف، دم، بال و کانارد به کار برده می شود. برای کنترل غیر متعارف، از روش تزریق ثانویه، نازل متحرک، پره کنترل متحرک استفاده می شود. این روش ها، از جمله روش هایی هستند که برای کنترل بهتر در زمان ناچیز بودن نیروهای آیرودینامیکی استفاده می شود. بعلاوه، پاسخ به فرمان ها در سیستم هایی که از روش کنترل بردار پیشranش استفاده می کنند، سریع تر است. لذا، استفاده از این روش ها مورد توجه افراد زیادی قرار گرفته است. همان طور که اشاره شد، از روش های غیر متعارف مختلفی تاکنون استفاده شده که می توان به روش های همچون نازل های متحرک، استفاده از چند نازل، تزریق ثانویه و روش های تداخلی اشاره نمود. در شکل (۱) بعضی از این روش ها نشان داده شده است [1].

در سال ۱۹۶۵ اولین تحقیقات تجربی در مورد کنترل بردار پیشranش توسط ریچارد گوس انجام شد [2] که نشان داد با افزایش فشار سکون جریان ثانویه موج ضربهای، جدایش جریان را به سمت بالادرست هدایت کرده و باعث تغییر در بردار پیشranش می شود.



شکل «۱»: شماتیکی از روش های کنترل بردار پیشranش [1]

در سال ۱۹۹۶ دیناگاران و همکارانش به مقایسه بین حل معادلات اویلر و معادلات ناویر استوکس برای

در سال ۲۰۱۶ کنگ و همکارانش به مطالعه عددی در نازل نامتقارن با یک صفحه فوقانی متحرك پرداختند [10]. این پژوهش بر اساس پدیده گذرا از یک جت مافق صوت است. جریان اصلی خروجی از نازل همگرا- واگرا توسط دیواره فوقانی نازل که با حرکات خاص به عقب و جلو جابجا می کند انحراف پیدا کرده است. نتایج حاصل شده انحراف زاویه بردار پیشرانش را نشان می دهد که با داده های تجربی اعتبار سنجی شد و مطابقت قابل قبولی داشتند.

بررسی تجربی اثرات تزریق ثانویه بر بردار پیشرانش در یک میکرو نازل همگرا- واگرا در سال ۲۰۱۶ توسط سالمی و همکارانش انجام شد [11]. در این پژوهش به بررسی اثرات تزریق ثانویه بر بردار پیشرانش دریک میکرو نازل همگرا- واگرا به صورت تجربی پرداخته شده است. به این منظور نیروی جانبی، زاویه بردار پیشرانش، نیروی پیشرانش و میدان جریان در پشت نازل در فشارهای تزریق مختلف و در حالت بدون تزریق بررسی شده است. نتایج به دست آمده، با تزریق ثانویه در فشارهای مختلف، نیروی پیشرانش تغییر قابل توجهی نداشته ولی نیروی جانبی به میزان چشمگیری تغییر کرده است.

در سال ۲۰۱۶ صالحی فر و همکارانش به بررسی عددی تزریق ثانویه گاز داغ بر کنترل بردار پیشرانش و بر مشخصات میدان جریان پرداختند [12]. نتایج این شبیه سازی با نتایج آزمایشگاهی صحت سنجی شده است بررسی ها نشان می دهد که افزایش قدرت تزریق منجر به کاهش ضربی تعویت می شود. همچنین، نشان داده شده که در تزریق گاز داغ با افزایش قدرت تزریق در محدوده مجاز تزریق، راندمان کاهش می یابد. در نتیجه تزریق دوگانه نمی تواند راندمان این روش را افزایش دهد و فقط کمک می کند که گاز بیشتری بدون موج ضربه ای تزریق کند و نیروی پیشرانش را افزایش دهد.

اثر کنترل بردار پیشرانش از نظر ضربی پیشرانش و ضربی تخلیه مورد پژوهش قرار گرفته است. شبیه سازی عددی بردار پیشرانش سیال در نازل مافق صوت متقارن در سال ۲۰۱۴ توسط دنگ و همکارانش مورد پژوهش قرار گرفت [7]. در آن تزریق گاز ثانویه به یک نازل مافق صوت متقارن تحت فشار اتمسفر استاندارد برای به دست آوردن عملکرد کنترل بردار پیشرانش بررسی شد. یک مدل تحلیلی بر اساس جریان تزریق ثانویه عرضی ایجاد و عده های ماخ متفاوت در موقعیت های مختلف تزریق به دست آمد. عامل کنترل بردار موج ضربه ای نسبت فشار داخل نازل است.

کنترل بردار پیشرانش موج ضربه ای در یک نازل مافق صوت مخروطی متقارن از طریق تزریق گاز ثانویه عرضی [8] توسط زدمیجانویک و همکارانش در سال ۲۰۱۴ مورد بررسی قرار گرفته است که در آن تزریق گاز ثانویه عرضی به جریان مافق صوت در یک نازل متقارن همگرا- واگرا مورد مطالعه قرار داده شده است. نتایج نشان داده است که نسبت تزریق ثانویه به نسبت دبی جرمی اویلیه حدود ۵ درصد تغییر بردار پیشرانش ممکن مربوط به نیروهای جانبی باشد. موقعیت تزریق ثانویه و ایجاد یک هندسه قوی، بر روی کنترل بردار موج ضربه ای تأثیرگذار است.

دنگ و همکارانش در سال ۲۰۱۶ شبیه سازی گردابه بزرگ برای کنترل بردار موج ضربه ای را با استفاده از عبور جریان بای پس [9] مورد بررسی قرار دادند که در آن از پدیده های ناپایدار برای کنترل برداری موج ضربه ای در فضای سه بعدی بهره گرفته شده است. خصوصیات ناپایدار از روش کنترل بردار موج ضربه ای در نسبت فشارهای مختلف نازل بررسی شده است. نتایج نشان می دهد برای رسیدن به کنترل بردار موج ضربه ای با طیف وسیع از نسبت جریان بای پس کمتر از ۷٪ مورد نیاز است.

اندازه‌گیری تغییرات فشار روی دیوارهای نازل اندازه‌گیری شده است. نتایج حاصل نشان می‌دهد که استفاده از برآمدگی‌های دوگانه متقابل می‌تواند بر زاویه بردار پیشرانش تأثیر چشمگیری داشته باشد و زاویه بردار پیشرانش را تا $4/35$ درجه نیز در شرایط بررسی شده افزایش دهد.

شرفي و همکاران در سال ۲۰۲۰ به بررسی تجربی اثر حضور و هندسه مانع در میکرونازل همگرا-واگرا بر روی بردار پیشران و جت خروجی پرداختند [18]. نتایج حاصل از این تحقیق نشان می‌دهد بیشترین مقدار انحراف، مربوط به مانع با هندسه مکعبی شکل است که برابر $2/1$ درجه است. همچنین در هندسه‌هایی که دارای گوشه‌های تیز هستند، موج ضربه‌ای شکل گرفته قوی تر بوده و به دیواره مقابله برخورد می‌کند. در این تحقیق، موج ضربه‌ای شکل گرفته با مانع مکعبی و استوانه‌ای به دیواره مقابله برخورد کرده اما برای موانع کروی و مخروطی شکل، موج ضربه‌ای از دهانه نازل خارج می‌شود.

مرور پژوهش‌های قبلی در زمینه کنترل بردار پیشرانش، نشان می‌دهد که بیشتر این بررسی‌ها با استفاده از روش تزریق ثانویه در قسمت واگرای نازل صورت گرفته است. مزیت این روش کاربرد آسان آن نسبت به سایر روش‌های دیگر ارائه شده در شکل (۱) است. در این تحقیق تلاش شده تا از برآمدگی‌های استوانه‌ای شکل که در قسمت واگرای نازل در مسیر جریان اعمال شده است، جهت کنترل جت خروجی از نازل استفاده شود. عملکرد این روش همان‌طور که در [15] اشاره شد، مشابه روش تزریق ثانویه است. با این تفاوت که از نظر اعمال آن بسیار ساده و از نظر هزینه نیز کم است. در این تحقیق اعمال دو برآمدگی به طور همزمان مورد بررسی قرار گرفته است. این دو برآمدگی در کنار هم در یک راستا بر روی دیواره داخلی نازل با فاصله متفاوت از انتهای نازل اعمال شده است. همچنین، در چند مرحله با تغییر میزان ارتفاع

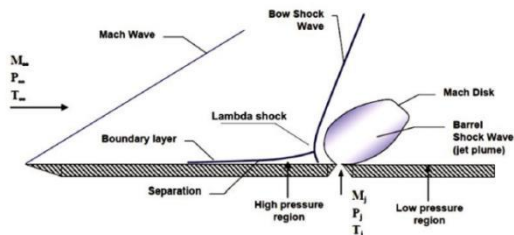
در سال ۲۰۱۷ مختاری و همکارانش به بررسی تجربی تأثیر برآمدگی بر بردار پیشرانش در میکرو نازل همگرا-واگرا پرداختند [13]. در این پژوهش میدان جریان در پایین دست جت خروجی از نازل در چند مقطع در دو حالت با و بدون برآمدگی اندازه‌گیری شده است. نتایج نشان می‌دهد که برآمدگی زاویه بردار تراست را به مقدار $2/3$ درجه تغییر داده است.

لای و همکارانش در سال ۲۰۱۷ به بررسی بردار پیشرانش سیال در نازل با زاویه پیچ و گشتاور پرداختند [14]. عملکرد بردار پیشرانش سیال با زاویه پیچ بسیار وابسته به مکان تزریق است. نتایج این مطالعه نشان می‌دهد که نیروی گشتاور وارد، پارامتری است که مستقل از مکان است.

مختاری و همکارانش در سال ۲۰۱۹ اثر یک برآمدگی استوانه‌ای شکل بر بردار پیشرانش را در یک جت مافوق صوت به عنوان یک روش جدید در کنترل بردار پیشرانش مورد بررسی قرار دادند [15, 16]. نتایج نشان داد که هر چه میزان ارتفاع برآمدگی‌ها بیشتر باشد موج ضربه‌ای‌های قوی تری ایجاد شده و به دیواره مقابله برخورد می‌کند. با افزایش میزان ارتفاع برآمدگی‌ها، برخورد موج ضربه‌ای با دیواره، باعث انحراف مسیر جت می‌شود.

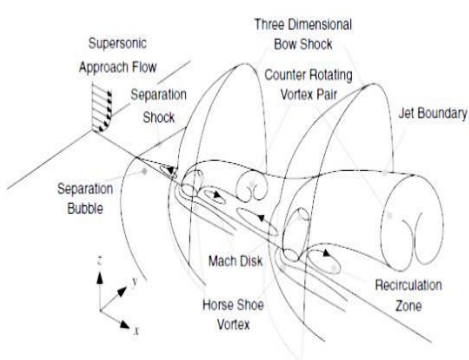
بابائیان و همکاران در سال به بررسی تجربی اثرات میزان نفوذ برآمدگی‌های دوگانه متقابل بر بردار پیشرانش یک نازل همگرا-واگرا در رژیم مافوق صوت پرداختند [17]. در این پژوهش برآمدگی‌ها در موقعیت‌های 60 و 90 درصد طول قسمت واگرای نازل از گلوگاه نازل نصب شده‌اند و به صورت هم‌زمان در مسیر جریان اصلی اعمال می‌شود. برآمدگی‌ها در حالت متقابل و روپروری هم بر دیواره نصب شده و اثرات تغییر نسبت میزان نفوذ برآمدگی‌ها بر زاویه بردار پیشرانش و مؤلفه‌های بردار پیشرانش با اندازه‌گیری نیروهای وارد بر نازل به دست آمده است. همچنین، میدان جریان نیز به وسیله تصویربرداری شلرین و

بدنه یکی از عوامل ایجاد نیروی جانبی در نازل است. البته موج ضربه‌ای ایجاد شده باعث تغییر زاویه جریان نیز می‌شود که این می‌تواند به عنوان عامل دوم در تغییر زاویه بردار پیشرانش نازل شود [19, 14]. شکل (۳) میدان جریان ناشی از تزریق جت در جریان مافوق صوت را به صورت شماتیک نشان می‌دهد.



شکل «۳»: شماتیک الگوی جریان در تزریق ثانویه [19].

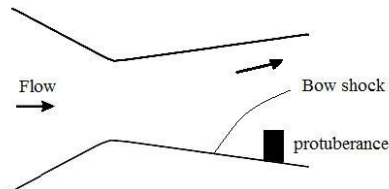
در تزریق دوگانه در نازل، به جای یک تزریق جت قوی از دو تزریق جت ضعیفتر استفاده شده که باعث می‌شود موج ضربه‌ای های قوی شکل گرفته که ممکن است با دیواره مقابل برخورد کنند و باعث افت پیشرانش اصلی گردد، به موج ضربه‌ای های ضعیفتر تبدیل شود. در این روش توزیع فشار در دو نقطه از نازل تغییر می‌کند [4]. سیستم تزریق دوگانه افت فشار سکون بیشتری نسبت به تزریق تک‌گانه دارد. شکل (۴) تزریق دوگانه و ایجاد موج ضربه‌ای ها در میدان جریان را نشان می‌دهد.



شکل «۴»: میدان جریان در تزریق دوگانه [4]

برآمدگی ها در جریان، تغییرات توزیع فشار روی دیواره نازل، نیروهای وارده بر آن و میزان انحراف جریان خروجی آن را از طریق آشکارسازی جریان (شلرین) مورد بررسی شده است.

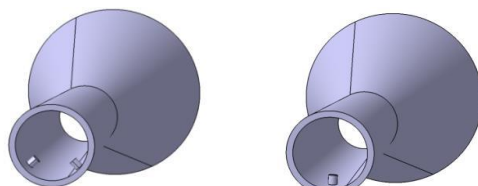
فیزیک جریان در رویکرد کنترل بردار پیشرانش توسط موج ضربه‌ای های ایجاد شده. پیشرانش یک جت به دلیل سیال خروجی است که از نازل با سرعت بالا تخلیه می‌شود. استفاده از برآمدگی های استوانه‌ای در روش کنترل بردار پیشرانش توسط برآمدگی، در قسمت واگرای نازل، باعث جدا شدن لایه مرزی از دیواره می‌شود. این موج ضربه‌ای ها باعث انحراف جریان اصلی می‌شود. در شکل (۲) به طور شماتیک نشان می‌دهد که اعمال برآمدگی در مسیر جریان مافوق صوت به عنوان یک مانع عمل کرده و باعث تغییر در حرکت جریان می‌شود.



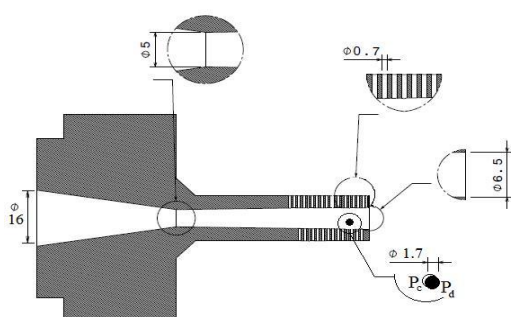
شکل «۲»: شماتیک از موج ضربه‌ای خمیده و انحراف جریان در نازل.

این رفتار همانند رفتار جریان در حالتی است که در نازل تزریق ثانویه وجود دارد. با تخلیه جریان ثانویه در جریان اصلی نازل ممکن است موج ضربه‌ای هایی در جلوی محل تزریق شکل بگیرد. علت اصلی تشکیل این موج ضربه‌ای ها که به لاندا موج ضربه‌ای و موج ضربه‌ای خمیده معروف هستند، اثرات انسدادی جت و همچنین ماهیت تبعیض آمیز جریان مافوق صوت است. این موج ضربه‌ای ها موجب تغییر شدید فشار استاتیک بر روی بدنه می‌شود. این تغییر فشار روی

نازل. برای ایجاد جریان متفوق صوت از یک نازل همگرا- واگرا با عدد ماخ اسمی ۲ استفاده شده است. نازل طوری طراحی شده که از قسمت انتهایی به محفظه آرامشی که تحمل هوا با فشار 35 بار را دارد، متصل می‌شود. قطر ورودی نازل 16 میلی‌متر، قطر گلوگاه نازل 5 میلی‌متر، قطر خروجی $\frac{6}{5}$ میلی‌متر است. طول قسمت واگرای نازل 50 میلی‌متر است. تعدادی سوراخ با قطر 0.5 میلی‌متر روی دیواره نازل برای بررسی فشار در دو طرف دیواره نازل طراحی شده است که سوراخ‌ها با فواصل ثابت از هم ایجاد شده و با طول واگرای نازل بی‌بعد شده است. برآمدگی‌های مورد استفاده قطعه استوانه‌ای شکل به قطر $1/6$ میلی‌متر است که جلوی جریان در قسمت واگرای نازل قرار داده می‌شود. این برآمدگی‌ها در حالت دوم به صورت همزمان در دو موقعیت مختلف به صورت شعاعی با زاویه 45 درجه در مسیر جریان اصلی در چهار میزان نفوذ مختلف در نازل اعمال می‌شود. سوراخ‌های محل نصب برآمدگی‌ها در فاصله 80 درصدی از گلوگاه نازل نصب شده است. در شکل‌های (6) و (7) موقعیت سوراخ‌های فشار و محل نصب برآمدگی‌ها نشان داده شده است.



شکل «۶»: موقعیت برآمدگی‌های دوگانه و تکی در نازل.

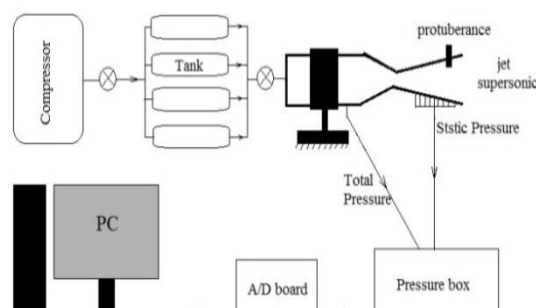


شکل «۷»: شماتیک برش خورده نازل همگرا-واگرا.

به نظر می‌رسد با ایجاد دو برآمدگی همانند تزریق دوگانه و ایجاد افزایش فشار در دو نقطه می‌توان به کنترل بهتر بردار پیشرانش که ناشی از توزیع فشار روی سطح است دست یافت. به نظر می‌رسد توزیع فشار در دو نقطه مختلف می‌تواند بردار پیشرانش را بهتر کنترل کند. همچنین می‌توان موج ضربه‌ای خمیده شکل گرفته قوی را، به چند موج ضربه‌ای ضعیف‌تر تبدیل کرد تا نیروی اعمال شده به دیواره مقابل را کاهش دهد و نیروی پیشرانش مرکزی افت کمتری داشته باشد.

تنظیمات و تجهیزات آزمایشگاهی

در این تحقیق جهت بررسی اثرات چند برآمدگی بر بردار پیشرانش، یک سیستم آزمایشگاهی تهیه شده که در شکل (5) نشان داده شده است. این سیستم شامل یک مخزن هوای فشرده، کمپرسور، نازل و دیگر تجهیزات اندازه‌گیری و مشاهده جریان است. فشار کل جریان که از محفظه آرامش اندازه‌گیری شده است در همه آزمایش‌ها ثابت در نظر گرفته شده و $(NPR=6.6)$ است. تصاویر شلرین، نیروی پیشرانش، فشار دیواره نازل، در چند حالت با ارتفاع نفوذ برآمدگی H/D^* $= 0.1, 0.2, 0.3, 0.4$ اندازه‌گیری و ثبت می‌شود. H ارتفاع نفوذ برآمدگی و D^* قطر گلوگاه نازل است.

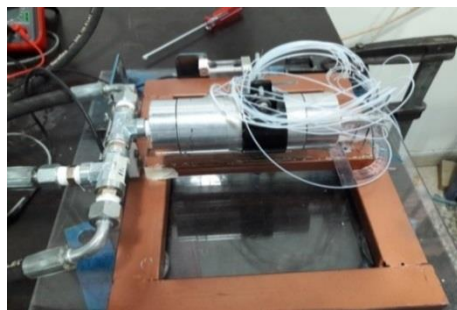


شکل «۵»: شماتیک تجهیزات آزمایش.



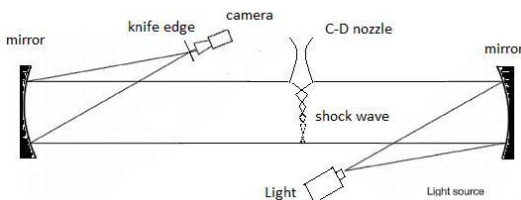
شکل «۸»: تصویر جعبه سنسورهای فشار.

حسگرهای فشار و لودسل‌های به کار رفته در این پژوهش به کارت داده‌برداری متصل شده‌اند. داده‌ها از معدل‌گیری ۱۰۰ نمونه در زمان یک ثانیه استخراج می‌شود.



شکل «۹»: تصویر میز نیروی دومولفه‌ای.

شلرین. سیستم شلرین شامل منع نور، آینه‌های مقعر، تیغه و دوربین تصویربرداری است. در این سیستم از نور سفید استفاده می‌شود و نور انعکاسی توسط دو آینه که از لبه تیغه عبور می‌کند، مستقیماً روی لنز دوربین افتاده تصویربرداری می‌شود. این تصاویر با استفاده از دوربین ثبت می‌شوند. شکل (۱۰) شماتیک تنظیمات تصویربرداری شلرین در آزمایشگاه را نشان می‌دهد.



شکل «۱۰»: شماتیک سیستم شلرین.

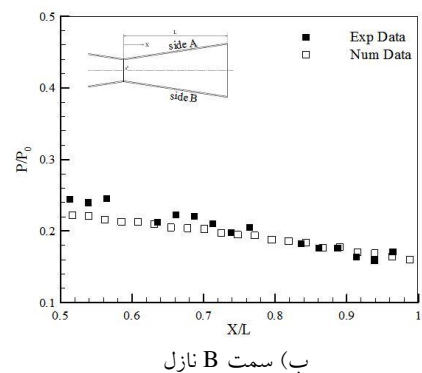
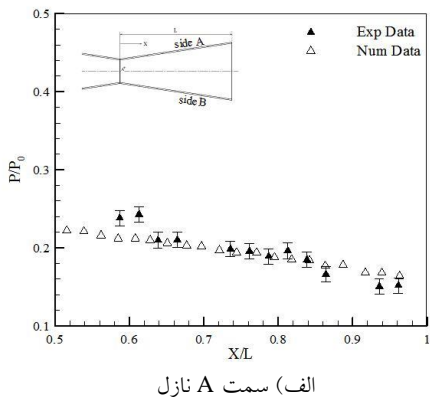
سنسورهای فشار. حسگرهای اندازه‌گیری از نوع ترافاغ است. این سنسورها در ظرفیت‌های مختلفی برای اندازه‌گیری فشار می‌باشند. این سنسورها قادر به اندازه‌گیری فشارهای منفی نیز می‌باشند. قبل از اندازه‌گیری فشار، سنسورها کالیبره می‌شوند.

در جعبه سنسورهای فشار تعداد ۱۰ عدد سنسور با ظرفیت‌های مختلفی تعبیه شده که ۵ عدد از سنسورها دارای ظرفیت ۱ - تا ۱۰ بار، ۴ عدد سنسور با ظرفیت ۱ - تا ۴ بار و یک عدد سنسور با ظرفیت ۰ تا ۶ بار مورد استفاده قرار گرفته است (شکل ۸). دقّت سنسورها ۰/۱ درصد مقیاس کلی است.

میز نیرو. در این پژوهش برای اندازه‌گیری نیروهای محوری و جانبی وارد بر نازل از یک میز نیروی دومولفه‌ای استفاده شده است. بدین منظور یک لودسل ۳۰۰ گرمی در جهت جانبی برای اندازه‌گیری نیروها و یک لودسل ۲۵۰۰ گرمی در جهت محور نازل به میز نیرو متصل شده است. برای اندازه‌گیری نیروی پیشراش و جانبی، نازل روی پایه نصب شده است. ابتدا میز نیرو با اعمال نیروهای مختلف در زوایای متفاوت کالیبره شده است. در شکل (۹) میز نیرو مشاهده می‌شود. دقّت کلی میز نیرو در جهت Y، X، کمتر از ۰/۵ درصد مقیاس کلی است که این افزایش به دلیل وجود اثرات تداخلی و کوپل شدن دو لودسل به یکدیگر است.

کارت داده‌برداری. در این پژوهش یک کارت داده‌برداری Advantech مدل 4711A USB مورد استفاده قرار گرفته است این کارت داده‌برداری دارای ۱۶ کانال ۱۲ بیتی است که به کامپیوتر وصل شده است.

نتایج نشان می‌دهد که تطابق خوبی بین داده‌های تجربی و نتایج عددی وجود دارد.



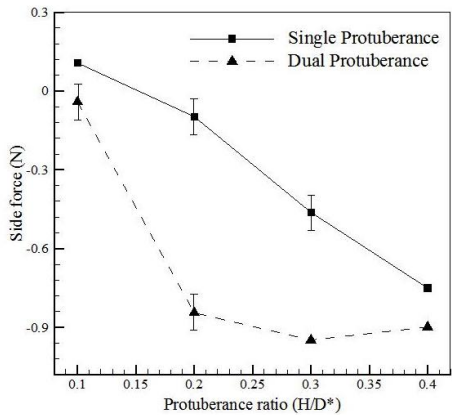
شکل «۱۱»: نمودار توزیع فشار استاتیک بر روی دیواره نازل.

بررسی اثرات نصب برآمدگی‌های یگانه و دوگانه با چیدمان عرضی. برای بررسی اثرات ناشی از حضور برآمدگی‌های متقابل بر بردار پیشرانش نازل، دو برآمدگی در موقعیت‌های 80° درصد از گلوگاه در قسمت واگرای نازل به صورت شعاعی با زاویه 45° درجه نصب و نیروهای جانبی و محوری بر نازل اندازه‌گیری می‌شود. برای بررسی اثرات میزان نفوذ برآمدگی‌ها، برآمدگی‌های مزبور در چهار میزان نفوذ مختلف قرار داده می‌شود. البته، در این حالات میزان نفوذ هر دو برآمدگی به طور یکسان است. مقدار نیروی عرضی و محوری وارد بر نازل در شکل‌های ۱۳ و ۱۴ برای دو حالت مختلف نشان داده شده است.

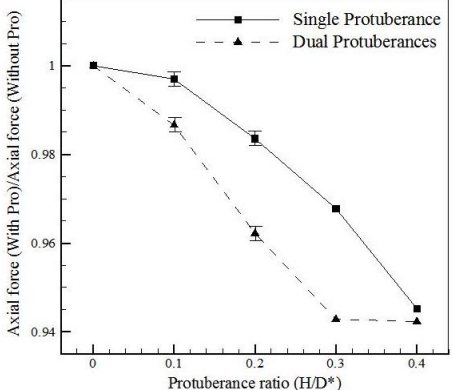
نتایج و بحث

ارزیابی نازل بدون وجود برآمدگی. برای ارزیابی داده‌های تجربی، ابتدا توزیع فشار روی دیواره نازل مورد بررسی قرار گرفت. بدین منظور سوراخ‌هایی که روی دیواره نازل است با استفاده از اتصالات هوایی فشرده به حسگرهای فشار متصل شده است. در محفظه آرامش فشار ثابت و برابر ($NPR=7.8, 6.6$) است. نازل بدون برآمدگی تست و تغییرات فشار و عدد ماخ در طول نازل بررسی شد. فشار استاتیک روی دیواره با فشار کل ورود به نازل بی‌بعد شده است (P/P_0). محل نقاط اندازه‌گیری شده فشار روی دیواره نازل نیز با طول کل قسمت واگرای نازل بی‌بعد شده‌اند (X/L). در شکل (۱۱) تغییرات فشار استاتیک بر روی دیواره‌های نازل را نشان می‌دهد. با توجه به خطای اندازه‌گیری سنسورهای فشار عدم قطعیت مربوطه محاسبه و بر روی داده‌های تجربی شکل (۱۱) نشان داده شده است. همچنین، در شکل (۱۲) تغییرات عدد ماخ داخل نازل بر روی دیواره‌ها مشاهده می‌شود. این نتایج با نتایج عددی مقایسه شده است. به این منظور از نرم‌افزار فلوئنت استفاده شد. از فرم کامل معادلات ناویر-استوکس در حالت تقارن محوری با رویکرد چگالی مبنای و پایای برای شبیه‌سازی عددی نازل استفاده شده است. همچنین، از مدل k-ε, RNG برای مدل‌سازی آشفتگی جریان، از روش رو برای تخمین شار ناشی از عبارت جابه‌جایی و از روش تفاضل مرکزی برای تخمین شار پخش معادلات استفاده شده است. دقّت حل عددی نیز مرتبه دو است. میدان داخل نازل مطابق با مدل تجربی به همراه دامنه بیرونی آنکه به صورت یک استوانه با شعاع 150 میلی‌متر و طول 350 میلی‌متر در نظر گرفته شد. شرایط ورودی و خروجی میدان نیز مطابق با آزمایش‌های تجربی ($NPR=6.6$) در نظر گرفته شد. استقلال حل از شبکه نیز مورد بررسی قرار گرفت. همچنین، مقدار $+y$ روی دیواره نازل در شبیه‌سازی بین ۳۰ تا ۳۰۰ به دست آمد.

تغییرات در حالتی است که از دو برآمدگی استفاده شده است. البته، این افزایش شبیه تنها در محدوده ایست که نسبت نفوذ دو برآمدگی از $0/1$ به $0/2$ افزایش یافته است و در نسبت نفوذ های بالاتر (در حالت دوم) میزان تغییرات چشمگیر نیست.

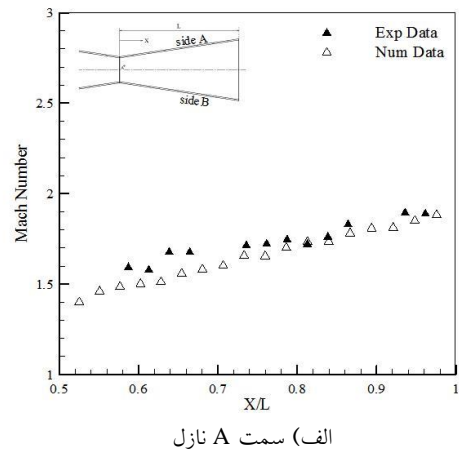


شکل «۱۳»: مقایسه نیروی های جانبی با حضور ۲ برآمدگی و یک برآمدگی.

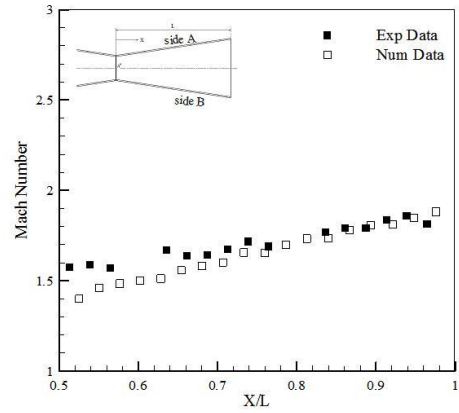


شکل «۱۴»: مقایسه نیروی های محوری با حضور ۲ برآمدگی و یک برآمدگی.

رونده تغییرات نیروهای محوری وارد بر نازل در شکل (۱۴) نشان می دهد که در هر دو حالت با افزایش نسبت نفوذ برآمدگی ها، نیروی پیشرانش محوری کاهش یافته است و تقریباً در بدترین شرایط این کاهش به ۴ درصد نیز می رسد. البته، میزان کاهش در حالت دوم نسبت به حالت اول (در شرایط نسبت نفوذ برآمدگی یکسان) بیشتر است (تقریباً دو برابر). ولی در



الف) سمت A نازل



ب) سمت B نازل

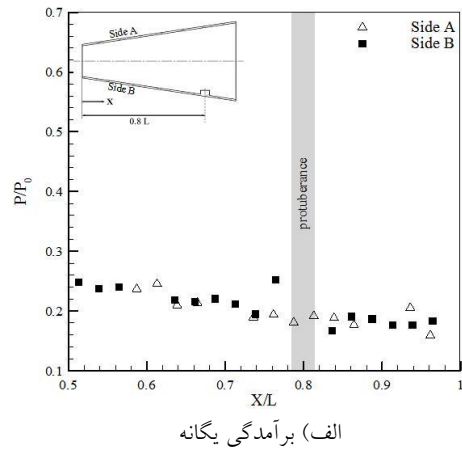
شکل «۱۲»: نمودار توزیع عدد ماخ بر دیواره های نازل.

در حالت اول از یک برآمدگی با میزان نفوذ های مختلف و در حالت دوم از دو برآمدگی با میزان نفوذ های مختلف استفاده شده است. نتایج حاصل در دو نسبت فشار (NPR=7.8,6.6) بار نشان می دهد؛ که در هر دو حالت با افزایش میزان نفوذ برآمدگی (ها)، نیروی جانبی وارد بر نازل افزایش یافته است. همچنین، مشاهده می شود که در حالت اول (در حضور یک برآمدگی) در نسبت نفوذ های (H/D^*) بالاتر از $0/1$ ، راستای نیروی جانبی وارد بر نازل تغییر جهت داده است. در حالی که در حالت دوم (در حضور دو برآمدگی) در کلیه حالت ها، راستای نیروی جانبی تغییر نکرده است. علاوه بر موارد ذکر شده، افزایش شبیه

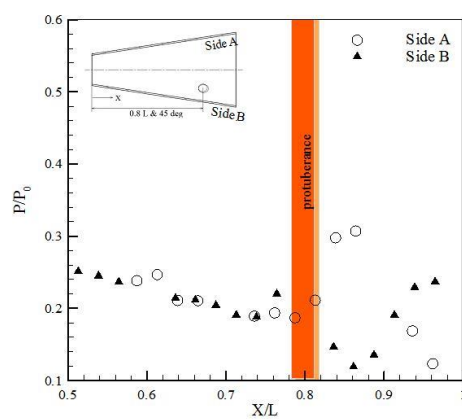
در شکل (۱۵) تغییرات ضریب فشار بر دیواره نازل در دو حالت مذکور و در نسبت نفوذ $0/1$ ($H/D^* = 0.1$) نشان داده شده است. مشاهده می‌شود که در حالت با برآمدگی یگانه، در بالادست برآمدگی (در طرف B) ضریب فشار افزایش یافته است. مطابق تحقیقات قبلی [۱۵] این افزایش ناشی از تشکیل یک موج ضربه‌ای خمیده در بالادست برآمدگی است. همچنین، در پایین دست برآمدگی نیز کاهش در ضریب فشار مشاهده می‌شود که ناشی از ایجاد دنباله در پایین دست برآمدگی است. در ادامه، جریان یک روند کاهشی تدریجی را طی می‌کند که ناشی از افزایش سرعت جریان درون نازل است. این فرآیند در طرف A نازل (طرف مقابل برآمدگی) چندان قابل ملاحظه نیست که نشان می‌دهد موج ضربه‌ای خمیده شکل گرفته در بالادست برآمدگی به دیواره مقابل برخورد نکرده است. در حالت دوم که از دو برآمدگی استفاده شده نیز افزایش فشار و کاهش آن در دو طرف برآمدگی‌ها (طرف B) قابل مشاهده است. البته، در این حالت میزان افت فشار در پایین دست برآمدگی‌ها نسبت به حالت قبل بیشتر است.

به نظر می‌رسد علت این پدیده اثرات انسدادی شدیدتر برآمدگی‌ها در این حالت و افزایش وسعت ناحیه دنباله پشت برآمدگی‌ها باشد. در طرف A رفتار کاملاً متفاوت است. به گونه‌ای که افزایش ضریب فشار در سمت A کاملاً مشهود است این نشان می‌دهد که در این حالت موج ضربه‌ای خمیده به دیواره مقابل (سمت A) برخورد کرده و نهایتاً منعکس شده است. به نظر می‌رسد عامل اصلی اختلاف در جهت نیروی جانبی در نسبت نفوذ $(0/1)$ نیز وجود موج ضربه‌ای انعکاسی در حالت دوم (در حضور برآمدگی‌های دوگانه) است که در تصاویر شلرین قابل برداشت است.

حالتي که نسبت نفوذ برآمدگي‌ها به $0/4$ رسيد، اين افزایش به صورت تقریباً یکسان بوده است. به نظر می‌رسد در این حالت امواج موج ضربه‌ای خمیده شکل گرفته در بالادست دو برآمدگی (حالت دوم) در شرایطی که نسبت نفوذ برآمدگي‌ها $0/4$ بوده است، با یکدیگر ترکیب شده‌اند. لذا، از روند کاهش قبلی که شامل دو موج ضربه‌ای خمیده جداگانه بوده، جلوگیری کرده است. برای درک بهتر از فیزیک جریان اثرات ناشی از حضور برآمدگی‌ها در دو حالت مذکور بر توزیع فشار روی دیواره‌های نازل در شکل‌های (۱۵) و (۱۶) نشان داده شده است.



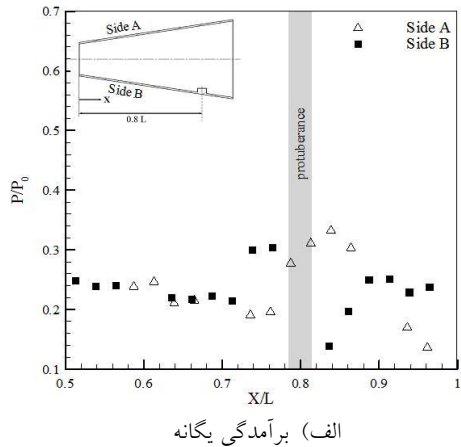
(الف) برآمدگی یگانه



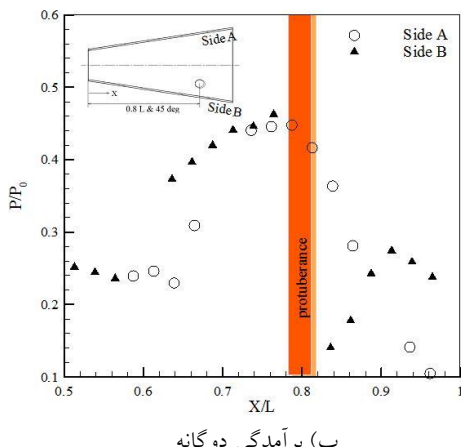
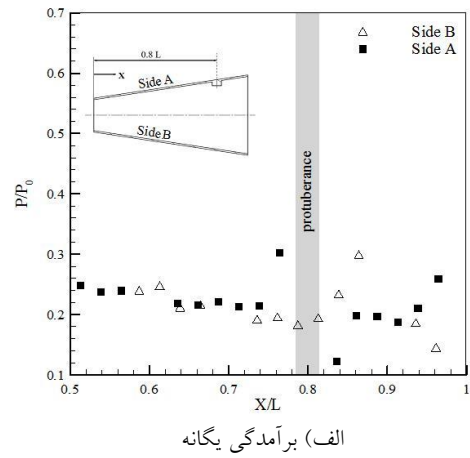
(ب) برآمدگی دوگانه

شکل «۱۵»: توزیع فشار بر دیواره‌های نازل در نسبت نفوذ $(H/D^* = 0.1)$ برآمدگی ($H/D^* = 0.1$)

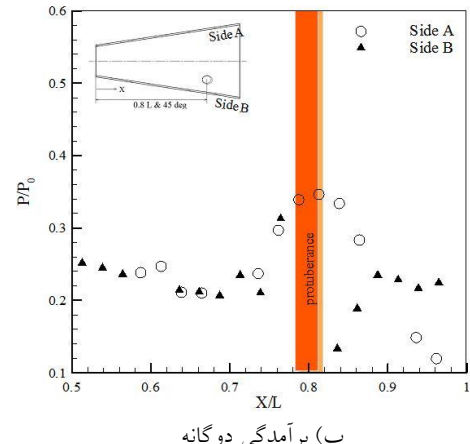
يعنى موج ضربه‌ای خمیده از بالا دست برآمدگی(ها) بر دیواره مقابله برخورد کرده و از آنجا به بیرون نازل امتداد یافته است. این موضوع در تصاویر شلرین در شکل‌های (۱۹-ب، ج، د) و (۲۰-ب، ج، د) نیز مشاهده می‌شود. علی‌رغم تشابه میدان جریان در این حالات، پدیده‌های دیگری نیز در این شکل‌ها قابل مشاهده است. یکی از این پدیده‌ها، پیشروی نقطه تشکیل موج ضربه‌ای خمیده در بالا دست برآمدگی(ها) به سمت گلوگاه نازل با افزایش نسبت نفوذ برآمدگی است



الف) برآمدگی یگانه

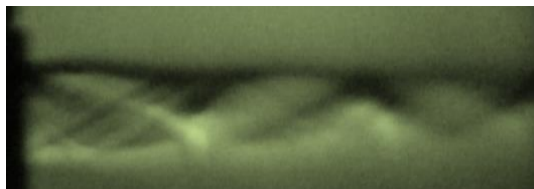
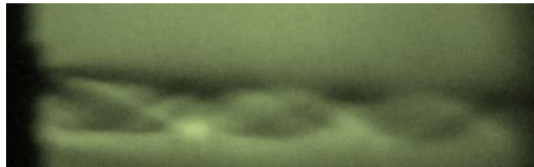
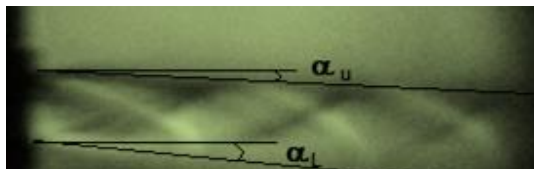
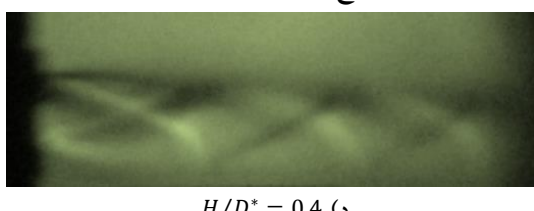
شکل «۱۷»: توزیع فشار بر دیوارهای نازل در نسبت نفوذ برآمدگی ($H/D^* = 0.3$)

الف) برآمدگی یگانه

ب) برآمدگی دوگانه
شکل «۱۶»: توزیع فشار بر دیوارهای نازل در نسبت نفوذ برآمدگی ($H/D^* = 0.2$)

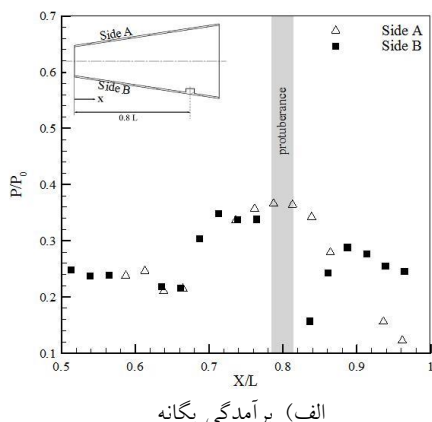
برای این منظور تغییرات ضربی فشار بر روی دیوارهای در شکل‌های (۱۶-۱۸) در سایر حالات با نسبت نفوذ مختلف ($H/D^* = 0.2 - 0.4$) نشان داده شده است. تصاویر شلرین در نسبت نفوذ‌های مختلف در حالات اول و دوم در شکل‌های (۱۹ و ۲۰) نشان داده شده است. مقایسه شکل (۱۹-الف) با (۲۰-الف) حضور موج ضربه‌ای انعکاسی خارج شده از نازل را به خوبی نشان می‌دهد. نتایج نشان می‌دهد که همان پدیده‌هایی که در حالت دوم (در حضور دو برآمدگی) با نسبت نفوذ ۰/۱ اتفاق افتاده، در سایر حالات نیز اتفاق افتاده است؛

برآمدگی و موج ضربهای خمیله در محدوده مادون صوت قرار دارد. لذا، می‌توان انتظار داشت که این ناحیه خود به عنوان یک مانع در درون جریان اثر گذارد. موضوع دیگری است که کاهش سرعت جریان در این ناحیه با افزایش نسبت نفوذ نیز شدت گرفته است. این را می‌توان در ماقزیموم ضربی فشار در بالادست برآمدگی‌ها نیز مشاهده نمود. این پدیده در حالتی که از دو برآمدگی استفاده شده باشد بیشتر مشاهده می‌شود هرچند که در بین دو برآمدگی یک فضای خالی برای عبور جریان وجود دارد. ولی به نظر می‌رسد این فاصله کمکی به کاهش فشار نکرده و موج ضربهای شکل گرفته در بالادست دو برآمدگی با یکدیگر ترکیب شده‌اند.

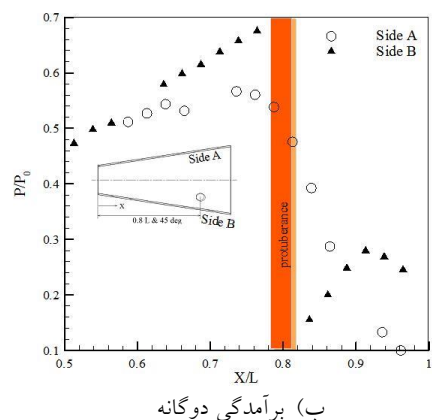
الف) $H/D^* = 0.1$ ب) $H/D^* = 0.2$ ج) $H/D^* = 0.3$ د) $H/D^* = 0.4$

شکل «۱۹»: تصاویر شلرین جت خروجی در میزان نفوذ برآمدگی مختلف در نازل با دو برآمدگی.

البته، محل تشکیل موج ضربهای در بالادست برآمدگی در حالتی که از دو برآمدگی استفاده شده نسبت به حالتی که از یک برآمدگی استفاده شده (در نسبت نفوذ یکسان) به گلوگاه نازل نزدیک‌تر شده است (شکل الف-۱۶ و ۱۷ و ۱۸). همچنین، در تمامی حالات با پیشروی نقطه تشکیل موج ضربهای، موج ضربهای شکل گرفته از قدرت بیشتری برخوردار است.



الف) برآمدگی یگانه



ب) برآمدگی دوگانه

شکل «۱۸»: توزیع فشار بر دیوارهای نازل در نسبت نفوذ برآمدگی ($H/D^* = 0.4$)

تشکیل یک ناحیه پرشار در پایین دست محل تشکیل موج ضربهای از پدیده‌های دیگر قابل مشاهده است (شکل ۱۷ و ۱۸) که در ادامه (تا محل نصب برآمدگی) یک روند افزایشی در آن قابل مشاهده است. این نشان می‌دهد که رژیم جریان موجود در بین

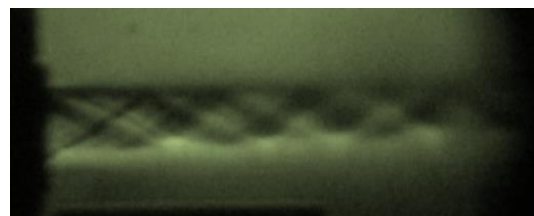
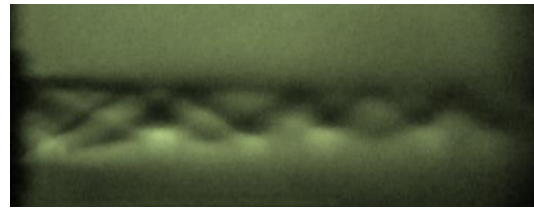
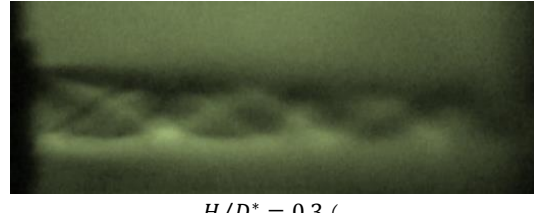
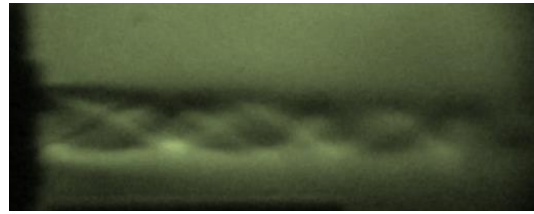
برای توزیع فشار بر روی دیواره مقابل (در حالت های مورد بحث) نیز نشان می دهد که با پیشروی محل تشکیل موج ضربه ای، محل برخورد آن بر دیواره مقابل نیز به سمت گلوگاه نازل پیشروی کرده است. البته، انتظار می رود که بعد از موج ضربه ای برخورد کرده با دیواره نازل، به خاطر مافوق صوت بودن جریان، سرعت جریان نیز کاهش یابد. این موضوع دو حالتی که از یک برآمدگی استفاده شده کاملاً قابل مشاهده است.

در حالتی که در برآمدگی دوگانه یک روند ثابت و یا گاه افزایشی در توزیع فشار روی دیواره مقابل (طرف A) تا محل نصب برآمدگی قابل رؤیت است این نشان می دهد که ناحیه مادون صوت شکل گرفته در بالا دست برآمدگی ها (همان طور که در قسمت قبل به آن اشاره شد) به صورت یک مانع در روبروی جریان اثر کرده و باعث ایجاد یک گلوگاه ثانویه مجازی در نزدیکی محل نصب برآمدگی ها در نازل شده است. گلوگاهی که در ورودی آن جریان مافوق صوت و در خروجی آن نیز جریان مافوق صوت است. لذا، افزایش ضربی فشار در قبل و کاهش آن در بعد از برآمدگی ها بر روی دیواره سمت A قابل مشاهده است. این نشان می دهد که افزایش زیاد برآمدگی ها (در حالت دوم) چندان مؤثر و مناسب به نظر نمی رسد. در شکل (۲۱) زاویه انحراف جریان (زاویه بردار پیشرانش) در دو حالت (برآمدگی یگانه و دوگانه) نشان داده شده است. این زاویه مطابق رابطه (۱) به دست آمده است:

$$\alpha = \tan^{-1} \left(\frac{F_s}{F_a} \right) \quad (1)$$

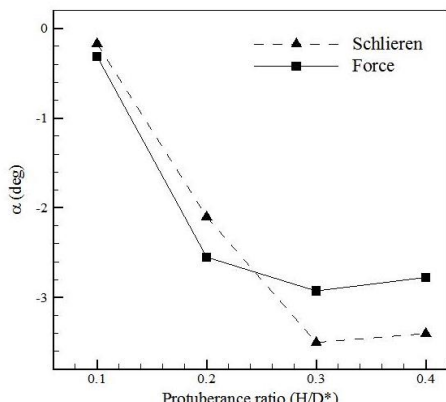
این نتایج نشان می دهد که در حالت (۱) (با یک برآمدگی) با افزایش نسبت نفوذ، زاویه انحراف به صورت خطی افزایش یافته است. این در حالی است که در حالت (۲) (با دو برآمدگی) روند خطی شبیب تغییرات از نسبت نفوذ ۰/۱ تا ۰/۲ بسیار شدیدتر از

مقایسه تغییرات ضربی فشار در پایین دست برآمدگی ها نیز نشان می دهد که با افزایش نسبت نفوذ برآمدگی ها در هر دو حالت (با برآمدگی یگانه و دوگانه) وسعت ناحیه دنباله از افزایش بیشتری برخوردار بوده است. همچنین، کاهش بیشتر ضربی فشار در این ناحیه با افزایش نسبت نفوذ برآمدگی بیانگر شدت گرفتن اثرات انسدادی برآمدگی ها و تقویت ناحیه دنباله است. به علاوه، مشاهده می شود که استفاده از دو برآمدگی باعث افزایش وسعت ناحیه دنباله بدون تقویت آن نسبت به حالت برآمدگی یگانه شده است (شکل ۱۶ و ۱۷ و ۱۸).

الف) $H/D^* = 0.1$ ب) $H/D^* = 0.2$ ج) $H/D^* = 0.3$ د) $H/D^* = 0.4$

شکل «۲۰»: تصاویر شلرین جت خروجی با یک برآمدگی در میزان نفوذ مختلف.

این نتایج نشان می‌دهد که در حالتی که از دو برآمدگی استفاده می‌شود نیز می‌توان از این تکنیک برای تخمین زاویه بردار پیشرانش استفاده کرد. زاویه بردار پیشرانش نازل با زاویه انحراف جریان خروجی از نازل که از تصاویر شلرین و به دست آمده است، در شکل (۱۷) مقایسه شده است.



شکل «۲۲»: نمودار مقایسه زاویه انحراف جت خروجی از تصاویر شلرین با زاویه بردار پیشرانش در نسبت برآمدگی‌های مختلف دوگانه.

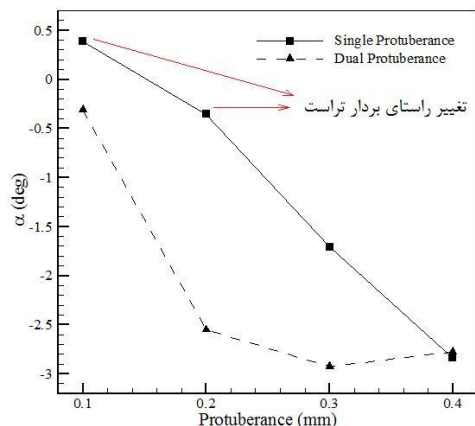
نتیجه‌گیری

در این تحقیق اثرات ناشی از اعمال برآمدگی‌های یگانه و دوگانه با چیدمان عرضی بر بردار پیشرانش یک نازل همگرا و اگرا در رژیم موفق صوت به صورت تجربی مورد بررسی قرار گرفت. عدد ماخ اسمی نازل ۲ است. در تمامی آزمایش‌ها فشار ثابت در نظر گرفته شده است برآمدگی‌ها در فاصله 80° درصد از قسمت واگرای نازل به صورت یگانه و دوگانه نصب شده‌اند. اثرات نسبت نفوذ برآمدگی‌ها بر میدان جریان از طریق مشاهده جریان (تصویربرداری شلرین) اندازه‌گیری فشار روی دیواره‌ها انجام شده است. نتایج نشان می‌دهد:

۱- با استفاده از برآمدگی‌های دوگانه در نسبت نفوذگاهی کمتر از $0/2^\circ$ شبیه تغییرات زاویه بردار

نسبت نفوذگاهی بالاتر است. برای مقایسه بهتر نتایج در این دو حالت می‌توان به این نکته اشاره نمود که در حالت ۲ در نسبت نفوذ $0/2^\circ$ زاویه پیشرانش به نزدیک $2/7^\circ$ درجه رسیده است. این در حالی است که در حالت ۱ برای رسیدن به این زاویه نسبت نفوذ برآمدگی بایستی در حدود $4/0^\circ$ باشد.

از نظر مقدار میزان افت پیشرانش محوری، در حالت (۱) برای رسیدن به زاویه انحراف نزدیک به $2/7^\circ$ در حدود $5/5^\circ$ درصد از پیشرانش محوری کاهش می‌باید درحالی که در حالت (۱) (با استفاده از دو برآمدگی) نزدیک به $3/5^\circ$ درصد از پیشرانش محوری کاسته شده است. برای تأیید بیشتر نتایج به دست آمده، زاویه بردار پیشرانش از طریق تصاویر شلرین نیز محاسبه و در شکل (۲۲) نشان داده شده است [15].



شکل «۲۱»: مقایسه زوایایی بردار پیشرانش در حالت برآمدگی یگانه و دوگانه در نسبت نفوذگاهی مختلف.

نتایج نشان می‌دهد زاویه انحراف جریان خروجی نازل تطابق خوبی با بردار پیشرانش به دست آمده از نیروهای وارد دارد. برای محاسبه زاویه انحراف جریان از رابطه (۲) استفاده شده است.

$$\alpha_{ave} = \frac{\alpha_l + \alpha_u}{2} \quad (2)$$

فهرست عالیم

قطر گلوگاه (mm)	D^*
ارتفاع برآمدگی (mm)	H
طول قسمت واگرای نازل (mm)	L
فشار استاتیک (bar)	P
فشار کل (bar)	P_0
فاصله نقطه مورد نظر از گلوگاه (mm)	X
نسبت فشار نازل	NPR
زاویه انحراف جت (degree)	α
زاویه شلرین جت خروجی (degree)	α_s
زاویه محوری جت خروجی (degree)	F_a
واژه‌نامه	
Protuberance	برآمدگی
C-D nozzle	نازل همگرا-واگرای
Thrust Vector	بردار پیشرانش
Deflection Angle	زاویه انحراف
Schelirin	shellrin
Penetration ratio	نسبت نفوذ

پیشرانش بسیار بیشتر از حالتی است که از یک برآمدگی استفاده می‌شود. البته در نسبت نفوذ‌های بالاتر، روند افزایش زاویه پیشرانش در این حالت بسیار کمتر می‌شود.

۲- با اعمال یک برآمدگی یک رفتار خطی بین نسبت نفوذ برآمدگی و زاویه پیشرانش حتی در نسبت نفوذ‌های بالا مشاهده می‌شود.

۳- در نسبت نفوذ کمتر از $0/2$ در حالتی که از یک برآمدگی استفاده می‌شود، تغییر جهت در زاویه بردار پیشرانش مشاهده می‌شود. در صورتی که در حالت دو برآمدگی این پدیده مشاهده نمی‌شود.

۴- استفاده از دو برآمدگی در نسبت نفوذ‌های بالای $0/3$ اثرات مطلوبی بر میدان جریان نداشت و حتی می‌تواند باعث کاهش زاویه بردار پیشرانش نیز شود.

۵- با استفاده از دو برآمدگی می‌توان در نسبت نفوذ‌های پایین‌تر ضمن دسترسی به زاویه پیشرانش مورد نظر (در مقایسه با نصب یک برآمدگی) اتلاف پیشranش محوری کمتری را داشت.

مراجع

1. Sutton, G.P. and Biblarz, O., "Rocket Propulsion Elements", John Wiley & Sons Inc, New York, (2001).
2. Gubse, R.D. "An experimental investigation of thrust vector control by secondary injection," NASA CR-297, (1965).
3. Dhinagaran, R. and Bose, T.K. "Comparison of Euler and Navier-Stokes solutions for nozzle flows with secondary injection", AIAA Paper 96-0453, AIAA 34th Aerospace Sciences Meeting and Exhibit, Reno, NV Jan 15-18, (1996).
4. Lee, S.H., "Characteristics of dual transverse injection in scramjet combustor, Part 1: Mixing", *Journal of Propulsion and Power*, Vol. 22, No. 5, (2006).
5. Anantesha, S.N. and Vamsidhar, D., "Numerical investigation and parametric study of fluidic thrust vectoring by shock vector control method, " *SASTECH*, Vol. 6, No. 2, (2007).
6. Shin, C.S., "A computational study of thrust vectoring control using dual throat nozzle," *Journal of Thermal Science*, Vol. 19, No. 6 , pp. 486-490, (2010).

7. Deng, R., Kong, F. and Kim, H.D., "Numerical simulation of fluidic thrust vectoring in an axisymmetric supersonic nozzle," *Journal of Mechanical Science and Technology*, Vol. 28, No. 12, pp. 4979-4987, (2014).
8. Zmijanovic, V., Lago, V., Sellam, M. and Chpoun, A., "Thrust shock vector control of an axisymmetric conical supersonic nozzle via secondary transverse gas injection," *Shock Waves*, Vol. 24, No. 1, pp. 97-111, (2014).
9. Deng, R., Setoguchi, T. and Kim, H.D., "Large eddy simulation of shock vector control using bypass flow passage," *Journal of Heat and Fluid Flow*, Vol. 62, pp. 474-481, (2016).
10. Kong, F., Jin, Y. and Kim, H.D. "Thrust vector control of supersonic nozzle flow using a moving plate," *Journal of Mechanical Science and Technology*, Vol. 30, No. 3, pp. 1209-1216, (2016).
11. Salemi, V.R., Sohrabi, S., Hojaji, M. and Soufivand, M.R., "Experimental study on the effects of secondary injection thrust vector in a Micro-Nozzles", *First National Conference on Advances and Challenges in Engineering and Technology*, Iran, (2016). (In Persian)
12. Salehifar, M., Tahani, M., Hojaji, M. and Dartoomian, A., "CFD modeling for flow field characterization and performance analysis of HGITVC", *Applied Thermal Engineering*, Vol. 103, pp. 291-304, (2016).
13. Mokhtari, D., Hojaji, M. and Mokhtari, M., "Experimental study of the effect of Protuberance on the thrust vector in convergent-divergent micro nozzle", *16th International Conference of Iranian Aerospace Society, Khaje Naseeridin Tousi University of Technology*, Tehran, (2017). (In Persian)
14. Li, L., Hirota, M., Ouchi, K. and Saito, T., "Evaluation of fluidic thrust vectoring nozzle via thrust pitching angle and thrust pitching moment", *Shock Waves*, Vol. 27, No. 1, pp. 53-61, (2017).
15. Mokhtari, D., Hojaji, M. and Afrand, M., "Experimental investigation of the effect of cylindrical protuberance with different penetration the thrust vector a C-D nozzle in supersonic regime", *Modares Mechanical Engineering*, Vol. 19, No. 5, pp. 1145-1154, (2019).
16. Mokhtari, D., Hojaji, M. and Afrand, M., "Experimental investigation of the effect of location of cylindrical protuberance on the thrust vector of a supersonic C-D nozzle", *Journal of Solid and Fluid Mechanics*, Vol. 9, No. 1, pp. 237-249, (2019).
17. Babaeyan, M.R. and Hojaji, M., "Experimental investigation of the penetration effects of opposite dual protuberances on thrust vector of a supersonic C-D nozzle", *Modares Mechanical Engineering*, Vol. 19, No. 7, pp. 1741-1750, (2019).
18. Sharafi, A. and Mokhtari, D., "Experimental study of effect of obstacle presence and its geometry on thrust vector and outlet jet in a convergent-divergent micro nozzle", *Modares Mechanical Engineering*, Vol. 20, No. 5, pp. 1211-1221, (2020).
19. Tahani, M., Hojaji, M. and Mahmoodi, S.V., "Turbulent jet crossflow analysis with LES approach", *Aircraft Engineering and Aerospace Technology*, Vol. 88, No. 6, pp. 717-728, (2016).